



ارتعاشات میکروتیرهای چرخان با حرکت محوری در محیط‌های پیچیده

امید کوچکیان فرد^۱، مجید ساده دل^{۲*}^۱ کارشناسی ارشد، دانشکده مهندسی مکانیک، دانشگاه تربیت مدرس، تهران، ایران^۲ استادیار، دانشکده مهندسی مکانیک، دانشگاه تربیت مدرس، تهران، ایران

تاریخ دریافت: ۱۴۰۱/۰۳/۲۴؛ تاریخ بازنگری: ۱۴۰۱/۰۶/۰۷؛ تاریخ پذیرش: ۱۴۰۱/۰۹/۰۵

چکیده

در مقاله حاضر، ارتعاشات و پایداری وابسته به اندازه میکروتیرهای چرخان با حرکت محوری محاط شده در بستر ویسکوز با شرایط مرزی مختلف دوسرپسته در محیط‌های رطوبتی-حرارتی-مغناطیسی تحت نیروهای گرانشی و محوری براساس تئوری تنش کوپل و مدل تیر رایلی مطالعه شده است. معادلات دینامیکی سیستم با به کارگیری اصل همیلتون استخراج شده‌اند. با به کارگیری روش گالرکین و حل مسئله مقدار ویژه، فرکانس‌های ارتعاشاتی پس‌رو و پیش‌رو سیستم و آستانه‌های ناپایداری سیستم به دست آمده‌اند. برای اعتبارسنجی نتایج پژوهش حاضر، مطالعات مقایسه‌ای انجام شده‌اند. اثر پارامترهای کلیدی مختلف مانند پارامتر اینرسی چرخشی، میرایی بستر، نسبت سفتی خمشی بر دینامیک سیستم آزموده شده‌اند. نتایج نشان دادند که برعکس محیط‌های رطوبتی، میدان‌های مغناطیسی موجب بهبود عملکرد سیستم می‌شوند؛ همچنین، هنگامی که حرکت محوری سیستم در خلاف جهت شتاب گرانشی باشد، نیروهای گرانشی موجب کاهش آستانه ناپایداری سیستم می‌شوند و می‌توانند سیر تکاملی پایداری سیستم را تغییر دهند. ضمناً نشان داده شد که افزایش پارامتر اینرسی چرخشی اثر کاهنده بر فرکانس‌های ارتعاشاتی و پایداری سیستم دارد. مدل‌سازی و نتایج پژوهش حاضر می‌توانند در طراحی بهینه میکروسویچ‌ها مفید باشند.

کلمات کلیدی: سیستم‌های چرخان متحرک، محیط پیچیده، نیروهای گرانشی، بستر ویسکوز، شرایط مرزی.

Vibration of rotating microbeams with axial motion in complex environments

O. Koochakianfard¹, M. Sadedel^{2*}¹ M.Sc., Mech. Eng., Tarbiat Modares Univ., Tehran, Iran² Assistant. Prof., Mech. Eng., Tarbiat Modares Univ., Tehran, Iran

Abstract

In the present paper, the size-dependent vibrations and stability of rotating microbeams with axial motion embedded in a viscous medium with different supported boundary conditions in humid-thermal-magnetic environments under gravitational and axial loads are studied based on the coupled stress theory and Rayleigh beam model. The dynamic equations of the system are derived using the Hamilton principle. Using the Galerkin method and solving the eigenvalue problem, the backward and forward vibrational frequencies and the instability thresholds of the system are obtained. Comparative studies are performed to validate the results of the present study. The effects of various key parameters such as rotary inertia factor, substrate damping, and flexural stiffness ratio on system dynamics are examined. The results showed that magnetic fields improve system performance in contrast to humid environments. Also, when the axial motion of the system is in the opposite direction of gravitational acceleration, gravitational forces reduce the instability threshold of the system and can change the system stability evolution. It is also shown that increasing the rotary inertia factor reduces vibrational frequencies and system stability. The modeling and the results of the present study can be useful in the optimal design of microswitches.

Keywords: Moving spinning systems, complex environment, gravitational loads, viscous foundation, boundary conditions.

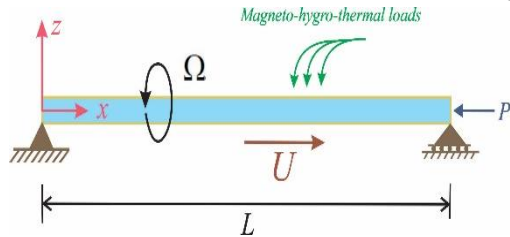
۱- مقدمه

تیرهای چرخان به دلیل کاربردهای متداولی که در صنایع مهندسی گوناگون دارند، توسط محققین بی‌شماری مورد بررسی قرار گرفته‌اند [۱]؛ همچنین از آنجاکه دینامیک سازه‌های متحرک محوری، موضوع مورد علاقه بسیاری از پژوهشگران در سال‌های گذشته بوده است، لذا مطالعات جامعی بر رفتار ارتعاشاتی و پایداری این سازه‌ها انجام شده است [۲]. تیرهای متحرک چرخان، یکی از المان‌های بحرانی در سیستم‌های مکانیکی به شمار می‌آیند. از آنجاکه حرکات محوری و چرخشی در این سازه‌ها به صورت هم‌زمان رخ می‌دهند، این سیستم‌های متحرک، رفتار دینامیکی پرباری در میان سیستم‌های دوار از خود نشان می‌دهند؛ همچنین، سازه‌هایی که به صورت هم‌زمان حرکات محوری و چرخشی را تجربه می‌کنند، قابلیت‌های تأثیرگذاری در سازه‌های مهندسی دارند. با وجود اهمیت بسزای این سازه‌های کلیدی، مطالعات محدودی به مدل‌سازی ریاضی و تحلیل دینامیکی آن‌ها پرداخته‌اند. در این عرصه، براساس مدل تیر اویلر-برنولی، پاسخ دینامیکی یک سیستم که هم‌زمان شامل حرکات محوری و چرخان است، توسط یانگ و همکارانش [۳] مطالعه شد. آن‌ها آستانه‌های ناپایداری سیستم را به ازای تغییر در سرعت‌های محوری و دورانی به دست آوردند؛ همچنین، آن‌ها نشان دادند که فرکانس‌های فرد به حرکت‌های چرخشی پس‌رو مربوط هستند و فرکانس‌های زوج مربوط به حرکات محوری چرخشی پیش‌رو می‌باشند. ژو و چانگ [۴] پایداری تیرهای دارای حرکات هم‌زمان چرخشی و محوری با تکیه‌گاه‌های مفصلی را براساس مدل تیر رایلی بررسی کردند. آن‌ها اثر پارامتر اینرسی چرخشی را بر مرزهای ناپایداری سیستم مطالعه کردند. لی و همکارانش [۵] ویژگی‌های ارتعاشی تیرهای جدار نازک کامپوزیتی چرخان متحرک محوری را بررسی کردند. آن‌ها فرکانس‌های طبیعی و مناطق پایداری را براساس مشخصات مادی سیستم محاسبه کردند؛ همچنین، آن‌ها اثرات ویژگی‌های هندسی نظیر نسبت‌های طول و ضخامت به شعاع و خواص ماده مانند زاویه‌ی جهت بندی الیاف را بر پاسخ دینامیکی سیستم بررسی کردند. در تحقیقی دیگر، رفتار ارتعاشات غیرخطی یک رشته حفاری تحت حرکت محوری متغیر با زمان در یک چاه اریب توسط صاحب‌کار و همکارانش [۶] مدل شد. آن‌ها اثرات جرم نامتوازن و نیروی غیرخطی

سیال بر پاسخ دینامیکی سیستم را مطالعه کردند. آن‌ها به این نتیجه دست یافتند که افزایش دامنه نوسانات و اثرات غیرخطی در سیستم، افزایش فرکانس‌های غیرخطی ارتعاشی را به دنبال دارد. پایداری دینامیکی غیرخطی یک تیر چرخان متحرک محوری توسط قایش و همکارانش [۷] بررسی شد. آن‌ها با استفاده از روش مقیاس چندگانه، محدوده‌های پایداری پاسخ حالت ماندگار را به دست آوردند؛ همچنین، آن‌ها اثر ضریب ویسکوالاستیک، سرعت‌های چرخشی و محوری را بر روی فرکانس‌های خطی و غیرخطی مطالعه کردند. یوه و یانگ [۸] مدل‌سازی دینامیکی یک تیر چرخان متحرک محوری را به صورت آزمایشگاهی بررسی کردند. آن‌ها نشان دادند که نیروی اینرسی در تیرهای چرخان در سرعت‌های بالا تأثیر قابل‌ملاحظه‌ای دارد. رفتارهای دینامیکی پیش‌پیش تیر چرخان متحرک محوری یکسرگیردار بر اساس تئوری تیر اویلر-برنولی توسط لی [۹] مطالعه شده است. او نشان داد که جابه‌جایی نوک تیر به ازای حرکات‌های سریع طولی و چرخشی، نوسان کمتری دارد.

عملکرد تجهیزات صنعتی در تمام ابعاد، به شرایط محیطی تعبیه شده آن‌ها وابستگی فراوانی دارد. به‌عنوان مثال، با اعمال میدان‌های حرارتی، انبساط حرارتی و در نتیجه تنش‌های فشاری حرارتی در سیستم ایجاد می‌شوند که منجر به تغییر رفتار ارتعاشاتی سازه می‌شود؛ لذا بررسی شرایط محیطی بر عملکرد سازه‌های متحرک و یا چرخان، موضوعی جذاب برای پژوهشگران است. در این زمینه، شفیعی و همکارانش [۱۰] ارتعاشات عرضی یک نانوتیر مخروطی مدرج تابعی چرخان را در محیط‌های حرارتی بررسی کردند. آن‌ها فهمیدند که با کاهش شاخص توانی مواد مدرج، فرکانس‌های طبیعی سیستم افزایش می‌یابند. عظیمی و همکارانش [۱۱]، ارتعاشات نانوتیرهای تیموشنکو مدرج تابعی چرخان تحت میدان حرارتی غیرخطی را مورد بررسی قرار دادند. نتایج آن‌ها نشان داد که با افزایش ضخامت، فرکانس و دمای بحرانی سیستم افزایش می‌یابد. قدیری و همکارانش [۱۲]، با به‌کارگیری روش سری‌های توانی، تحلیل دینامیکی نانوتیرهای چرخان در محیط‌های حرارتی را انجام دادند. آن‌ها نشان دادند که فرکانس‌های طبیعی با افزایش سرعت زاویه‌ای در سیستم، افزایش می‌یابند. نادری و همکارانش [۱۳]، دینامیک میکروتیرهای چرخان را در محیط‌های رطوبتی-مغناطیسی-

سرعت U در راستای طولی حرکت می‌کند. سیستم با سرعت دورانی Ω حول محور طولی خود دوران می‌کند. سیستم تحت اعمال نیروی فشاری محوری با اندازه P است. ممان اینرسی و مساحت سطح مقطع تیر با I و A ، جابجایی‌های عرضی سیستم در راستای محوره‌های y و z ، به ترتیب با w و v نمایش داده می‌شوند.



شکل ۱- شماتیک یک میکروتیر با حرکت‌های چرخشی و محوری

از آنجاکه جابجایی محوری در مقایسه با جابجایی عرضی ناچیز است [۲-۵]، با در نظر گیری جابجایی‌های کوچک و محدود برای سیستم و نادیده‌گیری اثرات غیرخطی در سیستم، براساس تئوری تنش کوپل می‌توان نوشت [۱۶، ۱۷]:

$$\epsilon_{xx} = -z \frac{\partial^2 w}{\partial x^2} - y \frac{\partial^2 v}{\partial x^2} \quad (۱-الف)$$

$$\chi_{xy} = \chi_{yx} = -\frac{1}{2} \frac{\partial^2 w}{\partial x^2} \quad (۱-ب)$$

$$\chi_{xz} = \chi_{zx} = -\frac{1}{2} \frac{\partial^2 v}{\partial x^2} \quad (۱-پ)$$

که ϵ_{xx} کرنش طولی و χ قسمت متقارن تنش انحنای است.

برای قسمت انحرافی تنش کوپل می‌توان نوشت [۱۷]:

$$m_{xy} = m_{yx} = -Gl^2 \frac{\partial^2 w}{\partial x^2} \quad (۲-الف)$$

$$m_{xz} = m_{zx} = -Gl^2 \frac{\partial^2 v}{\partial x^2} \quad (۲-ب)$$

$$\sigma_{xx} = E \epsilon_{xx} \quad (۲-پ)$$

که l پارامتر مقیاس طولی ماده، E مدول یانگ، G مدول برشی و σ_{xx} تنش محوری است.

برای انرژی پتانسیل می‌توان نوشت [۱۸]:

$$V = \frac{1}{2} \int_0^L (\sigma_{xx} \epsilon_{xx} + 2m_{xy} \chi_{xy} + 2m_{xz} \chi_{xz}) A dx \quad (۳)$$

بردار موقعیت یک نقطه از سیستم این چنین بیان می‌شود [۴]:

$$\mathbf{r} = \left(x - y \frac{\partial v}{\partial x} - z \frac{\partial w}{\partial x} \right) \mathbf{i} + (y + v) \mathbf{j} + (z + w) \mathbf{k} \quad (۴)$$

که در آن \mathbf{i} ، \mathbf{j} و \mathbf{k} به ترتیب بردارهای یک‌ه در راستاهای x ، y و z هستند. بردار سرعت نیز این چنین محاسبه می‌شود:

حرارتی را بررسی کردند. آن‌ها اثرات نیروهای محوری و پیرو را نیز بر ارتعاشات سیستم مطالعه کردند. همدانی و اسماعیلی [۱۴]، ارتعاشات غیرخطی تیرهای مدرج تابعی چرخان را براساس نظریه گرادیان کرنش مدل کردند. آن‌ها اثر اندازه، جنس، سرعت چرخش و پارامترهای اثر اندازه بر روی پاسخ ارتعاشی سیستم بررسی کردند. بای و همکارانش [۱۵]، براساس مدل تیر اویلر-برنولی و تئوری گرادیان کرنش غیرمحلی، ارتعاشات و پایداری نانو تیرهای متحرک محوری چرخان را در محیط‌های رطوبتی-مغناطیسی-حرارتی بررسی کردند. آن‌ها نشان دادند که با افزایش پارامتر گرادیان کرنش/غیرمحلی، پایداری سیستم، افزایش/کاهش می‌یابد.

براساس اطلاعات نویسندگان، مطالعات محدودی بر روی ارتعاشات وابسته به اندازه تیرهای متحرک محوری چرخان در محیط‌های پیچیده تمرکز کرده‌اند. در مقاله حاضر، رفتار دینامیکی و پایداری میکروتیرهای چرخان با حرکت محوری محاط شده در بستر ویسکوز تحت اثر نیروهای گرانشی و محیط‌های رطوبتی-مغناطیسی-حرارتی به ازای شرایط مرزی مقید مختلف براساس تئوری تنش کوپل و مدل تیر رایلی مطالعه شده است. در ادامه، فرمولاسیون ریاضی مسئله توضیح داده خواهد شد و معادلات دینامیکی استخراج می‌شوند. سپس اثرات پارامترهای مختلف سیستم مانند پارامتر اینرسی چرخشی، میرایی بستر، شرایط محیطی بر فرکانس‌های ارتعاشاتی و مرزهای ناپایداری سیستم بررسی خواهند شد. نتایج این پژوهش در طراحی ربات‌های جراحی کوچک‌اندازه، ماشین‌های سوراخ‌کاری کوچک‌مقیاس، قطعات ریز الکترونیکی دوار و میکرولوله‌های حفاری می‌توانند مفید باشند؛ همچنین، با نتایج ارائه‌شده می‌توان شناخت دقیق‌تری از ابزار نانو تکنولوژی، نانومهندسی و نانوپزشکی که دارای حرکات محوری و دورانی هستند، مانند اجسام غوطه‌ور در سیال، داشت.

۲- فرمولاسیون ریاضی

در شکل ۱، شماتیک یک میکروتیر با سطح مقطع دایروی که تحت حرکت‌های چرخشی و محوری است، نمایش داده شده است که در یک محیط پیچیده یعنی تحت بارهای مغناطیسی-رطوبتی-حرارتی قرار دارد. طول میکروتیر L است و در یک بستر ویسکوز با ضریب میرایی c محاط شده است. سیستم با

$$\delta W_g = -\rho Ag \int_0^L \left[\frac{\partial}{\partial x} \left((L-x) \frac{\partial v}{\partial x} \right) \delta v + \frac{\partial}{\partial x} \left((L-x) \frac{\partial w}{\partial x} \right) \delta w \right] dx \quad (10)$$

که در آن g شتاب گرانشی است. با جایگذاری روابط فوق در رابطه همیلتون، معادلات سیستم این چنین به دست می‌آیند:

$$(EI + GA I^2)v'''' + \rho A(\ddot{v} + 2U\dot{v}' + U^2v'') - \rho I(\dot{v}'' + 2U\dot{v}''' + U^2v'''' + 2\Omega\dot{w}'' - \Omega^2v'') + 2U\Omega w'''' \quad (11-الف)$$

$$+ (EA\alpha_H\Delta H + EA\alpha_T\Delta T - \mu AB^2 + P)v'' + \rho Ag((L-x)v')' + c(\dot{v} + Uv') = 0 \quad (11-ب)$$

$$(EI + GA I^2)w'''' + \rho A(\ddot{w} + 2u\dot{w}' + u^2w'') - \rho I(\dot{w}'' + 2U\dot{w}''' + U^2w'''' - 2\Omega\dot{v}'' - \Omega^2w'') - 2U\Omega v'''' + (EA\alpha_H\Delta H + EA\alpha_T\Delta T - \mu AB^2 + P)w''$$

$$+ \rho Ag((L-x)w')' + c(\dot{w} + Uw') = 0$$

برای استخراج معادلات دینامیکی بی‌بعد، پارامترهای بی‌بعد،

این چنین معرفی می‌شوند:

$$x^* = \frac{x}{L}, \quad v^* = \frac{v}{L}, \quad w^* = \frac{w}{L}, \quad t^* = \frac{t}{L} \sqrt{\frac{P}{\rho A}}, \quad U^* = U \sqrt{\frac{\rho A}{P}}, \quad \Omega^* = \Omega L \sqrt{\frac{\rho A}{P}}, \quad \delta_T = \frac{EA\alpha_T\Delta T}{P}, \quad \delta_M = \frac{AB^2}{P\mu}, \quad \delta_H = \frac{EA\alpha_H\Delta H}{P}, \quad \eta = \frac{l}{AL^2}, \quad c^* = \frac{cL}{\sqrt{\rho AP}}, \quad \gamma = \frac{\rho AgL}{P}, \quad \beta = \frac{EI}{PL^2}, \quad \theta = \frac{GA I^2}{PL^2} \quad (12)$$

که در آن، η پارامتر اینرسی چرخشی و γ پارامتر گرانش، θ نسبت سفتی خمشی و β صلبیت خمشی است.

با جایگذاری پارامترهای بی‌بعد در معادلات دینامیکی سیستم،

معادلات بدون بعد زیر حاصل می‌شوند:

$$(\beta + \theta)v'''' + \ddot{v} + 2U\dot{v}' + (U^2 + 1)v'' - \eta(\dot{v}'' + 2U\dot{v}''' + U^2v'''' + 2\Omega\dot{w}'' - \Omega^2v'') + 2U\Omega w'''' + (\delta_M - \delta_H - \delta_T - \gamma(1-x))v'' + \gamma v' + c(\dot{v} + Uv') = 0 \quad (13-الف)$$

$$(\beta + \theta)w'''' + \ddot{w} + 2U\dot{w}' + (U^2 + 1)w'' - \eta(\dot{w}'' + 2U\dot{w}''' + U^2w'''' - 2\Omega\dot{v}'' - \Omega^2w'') - 2U\Omega v'''' + (\delta_H + \delta_T - \delta_M - \gamma(1-x))w'' + \gamma w' + c(\dot{w} + Uw') = 0 \quad (13-ب)$$

همچنین، شرایط مرزی نیز مطابق روابط زیر به دست می‌آیند:

شرایط مرزی دوسرمفصل:

$$\mathbf{v} = \dot{\mathbf{r}} + \boldsymbol{\Omega} \times \mathbf{r} = \left(U - y \left(\frac{\partial^2 v}{\partial t \partial x} + \Omega \frac{\partial w}{\partial x} + U \frac{\partial^2 v}{\partial x^2} \right) - z \left(\frac{\partial^2 w}{\partial t \partial x} - \Omega \frac{\partial v}{\partial x} + U \frac{\partial^2 w}{\partial x^2} \right) \right) \mathbf{i} + \left(\frac{\partial v}{\partial t} + U \frac{\partial v}{\partial x} - \Omega w \right) \mathbf{j} + \left(\frac{\partial w}{\partial t} + U \frac{\partial w}{\partial x} + \Omega v \right) \mathbf{k} \quad (5)$$

انرژی جنبشی سیستم ناشی از حرکت‌های دورانی و محوری نیز این چنین بیان می‌شود [۴]:

$$T = \frac{1}{2} \rho A \int_0^L \left[U^2 + \left(\frac{\partial v}{\partial t} + U \frac{\partial v}{\partial x} \right)^2 + \left(\frac{\partial w}{\partial t} + U \frac{\partial w}{\partial x} \right)^2 \right] dx + \frac{1}{2} \rho I \int_0^L \left[\left(\frac{\partial^2 v}{\partial x \partial t} + \Omega \frac{\partial w}{\partial x} + U \frac{\partial^2 v}{\partial x^2} \right)^2 + \left(\frac{\partial^2 w}{\partial x \partial t} - \Omega \frac{\partial v}{\partial x} + U \frac{\partial^2 w}{\partial x^2} \right)^2 + 2\Omega^2 \right] dx \quad (6)$$

که در آن ρ چگالی میکروتیر هستند. برای استخراج معادلات سیستم، از اصل همیلتون مطابق رابطه ذیل استفاده می‌شود:

$$\delta \int_{t_1}^{t_2} (T + W - V) dt = 0 \quad (7)$$

که W کار انجام‌شده نیروهای خارجی روی سیستم است که شامل کارهای انجام‌شده توسط بارهای محیطی و بستر (W_e).

نیروی محوری فشاری (W_P) و نیروی گرانشی (W_g) است. تغییرات کار انجام شده توسط بارهای مغناطیسی-رطوبتی-حرارتی و بستر ویسکوز این چنین بیان می‌شود [۱۵، ۱۹]:

$$\delta W_e = \int_0^L \left(\frac{AB^2}{\mu} - EA\alpha_H\Delta H - EA\alpha_T\Delta T \right) \left[\frac{\partial v}{\partial x} \delta \left(\frac{\partial v}{\partial x} \right) + \frac{\partial w}{\partial x} \delta \left(\frac{\partial w}{\partial x} \right) \right] dx + c \int_0^L \left[\left(\frac{\partial v}{\partial t} + U \frac{\partial v}{\partial x} \right) \delta v + \left(\frac{\partial w}{\partial t} + U \frac{\partial w}{\partial x} \right) \delta w \right] dx \quad (8)$$

که μ ضریب نفوذپذیری مغناطیسی، B شدت میدان مغناطیسی، α_H ضریب انبساط رطوبتی، ΔH تغییرات رطوبتی، α_T ضریب انبساط حرارتی، ΔT تغییرات حرارت و c ضریب میرایی بستر است. تغییرات کار انجام شده توسط نیروی محوری فشاری این چنین محاسبه می‌شود [۲۰، ۲۱]:

$$\delta W_P = P \int_0^L \left[\frac{\partial v}{\partial x} \delta \left(\frac{\partial v}{\partial x} \right) + \frac{\partial w}{\partial x} \delta \left(\frac{\partial w}{\partial x} \right) \right] dx \quad (9)$$

تغییرات کار انجام شده گرانش این چنین بیان می‌شود [۲۲]:

$$\mathbf{Q} = [q_1(t), q_2(t), \dots, q_N(t)]^T \quad (۲۰-ب)$$

$$(\mathbf{M}_1)_{sr} = \int_0^1 \psi_s(x) \psi_r(x) dx \quad (۲۰-پ)$$

$$-\eta \int_0^1 \psi_s(x) \psi_r''(x) dx$$

$$(\mathbf{G}_1)_{sr} = 2U \int_0^1 \psi_s(x) \psi_r'(x) dx -$$

$$2\eta U \int_0^1 \psi_s(x) \psi_r'''(x) dx \quad (۲۰-ت)$$

$$+ c \int_0^1 \psi_s(x) \psi_r(x) dx$$

$$(\mathbf{G}_2)_{sr} = -2\eta\Omega \int_0^1 \psi_s(x) \psi_r''(x) dx \quad (۲۰-ث)$$

$$(\mathbf{K}_1)_{sr} = (\beta + \theta - \eta U^2) \int_0^1 \psi_s(x) \psi_r''''(x) dx +$$

$$(U^2 + 1 + \eta\Omega^2 + \delta_H + \delta_T - \delta_M$$

$$- \gamma) \int_0^1 \psi_s(x) \psi_r''(x) dx$$

$$+ \gamma \int_0^1 x \psi_s(x) \psi_r''(x) dx + (\gamma$$

$$+ cU) \int_0^1 \psi_s(x) \psi_r'(x) dx$$

$$(\mathbf{K}_2)_{sr} = -2\gamma U \Omega \int_0^1 \psi_s(x) \psi_r'''(x) dx \quad (۲۰-ج)$$

با حل مسئله مقدار ویژه معادله (۱۹)، مقادیر ویژه سیستم به دست می‌آیند. به این صورت که مقادیر ویژه ماتریس‌های ارائه‌شده در معادله (۲۰) در نرم‌افزار MATLAB برحسب پارامترهای کلیدی محاسبه می‌شوند. روابط قسمت موهومی مقادیر ویژه همان فرکانس‌های طبیعی سیستم (ω) هستند؛ همچنین، قسمت موهومی مقادیر ویژه سیستم (σ) به میرایی و نرخ تغییرات انرژی سیستم مربوط می‌شود. هنگامی که یکی از فرکانس‌های سیستم صفر شود، درحالی که مقدار موهومی آن غیرصفر باشد (یعنی فرکانس ارتعاشاتی سیستم صفر شده باشد)، سیستم مانند یک ستون که متحمل ناپایداری استاتیکی می‌شود؛ دیگر ارتعاش نمی‌کند و متحمل ناپایداری استاتیکی می‌شود؛ همچنین، هنگامی که مقدار موهومی مقدار ویژه سیستم مثبت باشد، درحالی که فرکانس ارتعاشاتی مربوطه غیرصفر باشد، قسمت حقیقی مقدار ویژه به صورت نمایی بزرگ می‌شود و سیستم دامنه ارتعاشاتی سیستم با گذر زمان تقویت می‌شود و ناپایداری دینامیکی رخ خواهد داد. به سرعت‌های محوری و چرخشی که ناپایداری استاتیکی در سیستم رخ می‌دهد، سرعت محوری ناپایداری استاتیکی (U_d) و سرعت چرخشی ناپایداری استاتیکی (Ω_d) گفته می‌شود [۲۴].

$$x = 0, L: v = v'' = w = w'' = 0 \quad (۱۴-الف)$$

شرایط مرزی دوسرگیردار:

$$x = 0, L: v = v' = w = w' = 0 \quad (۱۴-ب)$$

شرایط مرزی یکسرمفصل-یکسرگیردار:

$$x = 0: v = v'' = w = w'' = 0 \quad (۱۴-پ)$$

$$x = L: v = v' = w = w' = 0$$

که باتوجه به شرایط هندسی و فیزیک سیستم و اتصال سازه به تکیه‌گاه انتخاب می‌شوند.

برای استخراج فرکانس‌های ارتعاشاتی، ابتدا با کمک روش گسسته سازی گالرکین، معادلات دینامیکی سیستم در فضای زمان و مکان تفکیک می‌شوند. به همین منظور، جابجایی‌های عرضی سیستم با سری‌های ذیل تقریب زده می‌شوند [۲۳]:

$$v(x, t) = \sum_{i=1}^N p_i(t) \psi_i(x) \quad (۱۵-الف)$$

$$w(x, t) = \sum_{i=1}^N q_i(t) \psi_i(x) \quad (۱۵-ب)$$

که در آن p و q مختصات تعمیم‌یافته سیستم در راستاهای عرضی هستند. ضمناً ψ شکل مود ارتعاشاتی با توجه به شرایط مرزی است؛ همچنین، N تعداد مودهای ارتعاشاتی در نظر گرفته شده است. شکل مودهای ارتعاشاتی برای شرایط مرزی دوسرهمفصل (P-P)، یکسرمفصل-یکسرگیردار (C-P) و دوسرگیردار (C-C)، به ترتیب این چنین بیان می‌شوند [۲۳]:

$$\psi_i(x) = \sin(i\pi x) \quad (۱۶)$$

$$\psi_i(x) = \cosh(\lambda_i x) - \cos(\lambda_i x) - \frac{\sinh(\lambda_i) - \sin(\lambda_i)}{\cos(\lambda_i) + \cosh(\lambda_i)} (\sinh(\lambda_i x) - \sin(\lambda_i x)) \quad (۱۷)$$

$$\psi_i(x) = \cosh(\lambda_i x) - \cos(\lambda_i x) - \frac{\sinh(\lambda_i) - \sin(\lambda_i)}{\cos(\lambda_i) - \cosh(\lambda_i)} (\sinh(\lambda_i x) - \sin(\lambda_i x)) \quad (۱۸)$$

لازم به ذکر است که در شکل مودهای تیرهای یکسرمفصل-یکسرگیردار و دوسرگیردار، مقدار λ از روابط مشخصه فرکانسی $\tanh(\lambda_i) = \tan(\lambda_i)$ و $\cosh(\lambda_i) - \cos(\lambda_i) = 1$ به دست می‌آیند. با جایگذاری معادلات (۱۵) در معادلات دینامیکی سیستم و استفاده از خواص تعامد مودها، معادلات سیستم در قالب ماتریسی ذیل به دست می‌آیند:

$$\begin{bmatrix} \mathbf{M}_1 & \mathbf{0} \\ \mathbf{0} & \mathbf{M}_1 \end{bmatrix} \begin{Bmatrix} \dot{\mathbf{Q}} \\ \dot{\mathbf{p}} \end{Bmatrix} + \begin{bmatrix} \mathbf{G}_1 & \mathbf{G}_2 \\ -\mathbf{G}_2 & \mathbf{G}_1 \end{bmatrix} \begin{Bmatrix} \mathbf{Q} \\ \mathbf{p} \end{Bmatrix} + \begin{bmatrix} \mathbf{K}_1 & \mathbf{K}_2 \\ -\mathbf{K}_2 & \mathbf{K}_1 \end{bmatrix} \begin{Bmatrix} \mathbf{Q} \\ \mathbf{p} \end{Bmatrix} = \begin{Bmatrix} \mathbf{0} \\ \mathbf{0} \end{Bmatrix} \quad (۱۹)$$

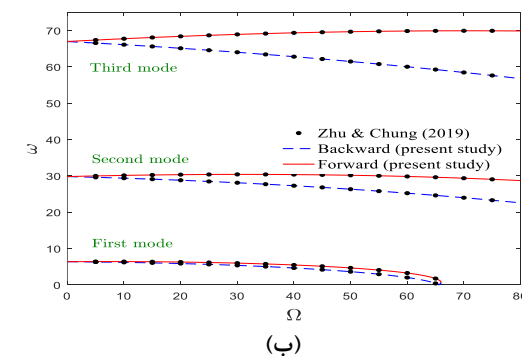
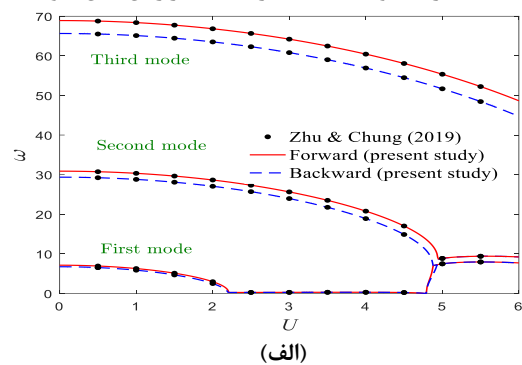
که در آن

$$\mathbf{P} = [p_1(t), p_2(t), \dots, p_N(t)]^T \quad (۲۰-الف)$$

۳- نتایج و بحث

ابتدا برای اعتبارسنجی، مطالعه مقایسه‌ای با نتایج موجود در ادبیات انجام می‌شود. سپس، اثر پارامترهای مختلف بر دینامیک و پایداری سیستم سنجیده می‌شود. در شکل ۲ و ۳، فرکانس‌های ارتعاشاتی پس‌رو (فرد) و پیش‌رو (زوج) برای سه مود اول یک تیر چرخان که دارای حرکت محوری است، به ترتیب برحسب سرعت محوری و سرعت چرخشی نمایش داده شده‌اند. همان‌طور که مشاهده می‌شود، نتایج پژوهش حاضر با آنچه در مرجع [۴] گزارش شده است، تطابق دارد.

در ادامه برای استخراج نتایج عددی، مشخصات هندسی و فیزیکی سیستم در جدول ۱ ارائه شده‌اند. لازم به ذکر است که α_T^L و α_T^H ضرایب انبساط حرارتی سیستم در شرایط محیطی دما-بالا و دما-پایین هستند. طبق مطالعات آزمایشگاهی، در دمای اتاق و شرایط دما-بالا، مشخصه‌های حرارتی سیستم‌های کوچک مقیاس باهم متفاوت هستند [۲۵]. ضمناً در ادامه پژوهش حاضر، نتایج برای سیستم دوسرمفصل به ازای $\beta=0.64$ و $\eta=0.001$ ارائه خواهند شد، مگر اینکه غیر از این بیان شود.

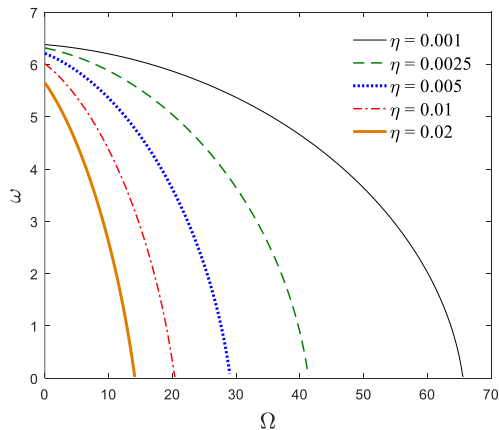


شکل ۲- فرکانس‌های ارتعاشاتی برحسب (الف) سرعت محوری هنگامی که $\Omega=20$ و (ب) سرعت چرخشی هنگامی که $U=1$ بدون اثرات اندازه، بستر، نیروهای محیطی و گرانشی

جدول ۱- مشخصات هندسی و فیزیکی سیستم [۱۵، ۲۵]

پارامتر	مقدار
E	70 Gpa
ρ	2707 kg/m ³
α_T^L	$-1/6 \times 10^{-6} \text{ K}^{-1}$
α_T^H	$1/1 \times 10^{-6} \text{ K}^{-1}$
α_H	0/44 (wt% H2O) ⁻¹
μ	$1/02 \times 10^{-6} \text{ s/m}$
R	$0/5 \times 10^{-6} \text{ m}$
L	$10 \times 10^{-6} \text{ m}$

در شکل‌های ۳ (الف و ب)، اثرات شرایط محیطی بر اولین فرکانس پس‌روی سیستم نمایش داده شده است. با افزایش سرعت محوری، نیروی گریز از مرکز در سیستم افزایش می‌یابد و سفتی مؤثر سیستم کاهش می‌یابد؛ در نتیجه فرکانس ارتعاشاتی سیستم نیز کاهش می‌یابد. همان‌طور که در شکل ۳ (الف) مشخص است، فرکانس ارتعاشاتی سازه با افزایش رطوبت کاهش می‌یابد. دلیل رخداد این پدیده در رفتار ارتعاشاتی سیستم را می‌توان این‌گونه توجیه کرد که با افزایش رطوبت در سیستم و جذب مولکول‌های آب توسط سازه، شرایط تخریب در سیستم پدید می‌آید و سفتی مؤثر سیستم کاهش می‌یابد. از سوی دیگر، با افزایش شدت میدان مغناطیسی، فرکانس ارتعاشاتی سیستم افزایش می‌یابد. رخداد این پدیده را نیز می‌توان به اثرات سخت‌شوندگی سیستم در حضور میدان مغناطیسی نسبت داد [۱۹]. مطابق شکل ۳ (ب)، با افزایش سرعت چرخش در سیستم فرکانس ارتعاشاتی سیستم کاهش می‌یابد [۱۵]. در شرایط دما-بالا، با افزایش دمای محیط، در سازه تنش‌های حرارتی به وجود می‌آید که می‌تواند منجر به تغییر شکل و همچنین اثرات مخرب بر پایداری سازه شود. در نتیجه با افزایش دما در محیط دما-بالا، سفتی مؤثر سیستم کاهش می‌یابد که منجر به یک سیستم نرم‌تر می‌شود و در نتیجه فرکانس سیستم کاهش می‌یابد. از آنجاکه علامت ضریب انبساط حرارتی سیستم‌های کوچک اندازه در محیط‌های دما-بالا و دما-پایین (دمای اتاق) باهم متفاوت هست، می‌توان گفت که در محیط دما-پایین، فرکانس سیستم با افزایش دما روند افزایشی خواهد داشت. در شکل ۴، اثر پارامتر اینرسی چرخشی بر رفتار ارتعاشاتی سیستم مشاهده می‌شود. همان‌طور که مشخص است، با افزایش پارامتر اینرسی چرخشی، اولین فرکانس ارتعاشاتی پس‌روی سیستم کاهش می‌یابد. دلیل این کاهش را می‌توان به اثرات افزودگی جرم پارامتر اینرسی چرخشی نسبت داد [۴]. مشاهده می‌شود که



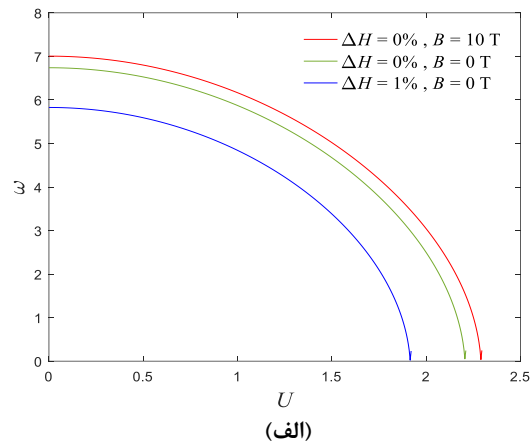
شکل ۴- اولین فرکانس پس‌روی ارتعاشاتی برحسب سرعت چرخشی هنگامی که $U=1$ ، بدون در نظرگیری اثرات اندازه، بستر و نیروهای محیطی و گرانشی

در شکل ۶، اثر پارامترهای گرانش، نسبت سفتی خمشی و صلبیت خمشی بر اولین فرکانس پس‌روی سیستم نمایش داده شده است. همان‌طور که قابل مشاهده است، با افزایش پارامتر گرانش، نسبت سفتی خمشی و صلبیت خمشی، فرکانس ارتعاشاتی سیستم افزایش می‌یابد. اثرات افزایشی این پارامترها را می‌توان به اثر سخت‌شوندگی آن‌ها نسبت داد. همان‌طور که در ادبیات فنی گزارش شده است [۱۶]، براساس تئوری تنش کوپل، هرچه پارامتر مقیاس طولی ماده بیشتر باشد، نسبت سفتی خمشی سیستم و در نتیجه سفتی مؤثر سیستم بیشتر خواهد شد؛ در نتیجه فرکانس‌های ارتعاشاتی سیستم و پایداری آن بهبود می‌یابد؛ همچنین همان‌طور که ژو و چانگ [۴] نشان داده‌اند افزایش صلبیت خمشی منجر به یک سیستم سفت‌تر می‌شود و فرکانس ارتعاشات و آستانه ناپایداری سیستم نیز افزایش می‌یابد. ضمناً مطابق با مراجع [۲۲، ۲۶]، با افزایش پارامتر گرانش در سیستم، فرکانس ارتعاشاتی و مقاومت سیستم نسبت به ناپایداری، بهبود می‌یابند.

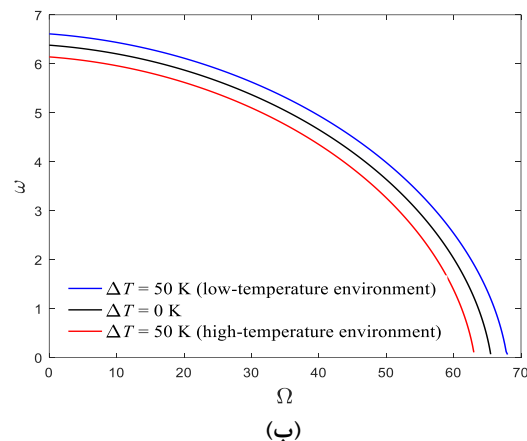
در شکل ۷، مرزهای ناپایداری استاتیکی در صفحه $\theta-U_0$ برای شرایط مرزی مختلف دوسریسته ترسیم شده‌اند. همان‌طور که انتظار می‌رود، هرچه نسبت سفتی خمشی سیستم بیشتر باشد، مقاومت سیستم نسبت به رخداد ناپایداری در سیستم بیشتر می‌شود؛ همچنین، این موضوع شناخته شده است که هرچه قید تکیه‌گاه‌های سیستم بیشتر باشد، سفتی مؤثر سیستم نیز افزایش می‌یابد؛ در نتیجه شرایط مرزی دوسرگیردار و

سرعت دورانی مربوط به ناپایداری استاتیکی هم در سیستم با افزایش پارامتر اینرسی دورانی کاهش می‌یابد.

در شکل ۵، اثر ضریب میرایی بستر ویسکوز بر ارتعاشات سیستم نشان داده شده است و قسمت حقیقی مقدار ویژه برحسب سرعت محوری در حضور بستر ویسکوز نشان داده شده است. در حالتی که سیستم بر روی بستر ویسکوز قرار دارد، شاخه‌های مقدار ویژه تقارن خود را نسبت محور افقی از دست می‌دهند. در این حالت، چون سیستم ناپایستار است، شاخه‌های مقدار ویژه به سمت ناحیه چهارم محور مختصات جابه‌جا می‌شوند. از آنجا که میرایی بستر در ماتریس‌های جرم و سفتی نقش ندارد، لذا تغییرات میرایی بستر ویسکوز تأثیری بر آستانه ناپایداری استاتیکی سیستم نیز ندارد.

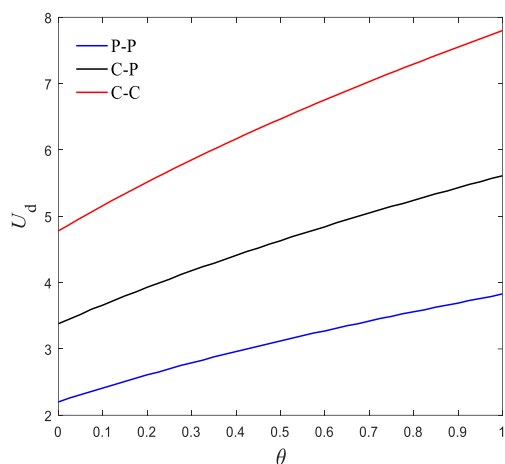


(الف)



(ب)

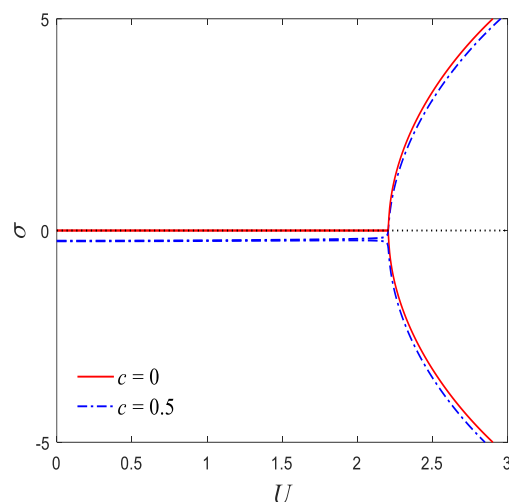
شکل ۳- اولین فرکانس پس‌روی ارتعاشاتی برحسب (الف) سرعت محوری هنگامی که $\Omega=20$ و (ب) سرعت چرخشی هنگامی که $U=1$ ، بدون در نظرگیری اثرات اندازه، بستر و نیروهای گرانشی



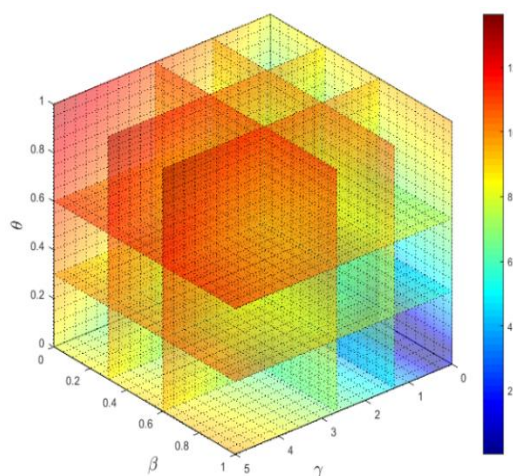
شکل ۷- سرعت محوری ناپایداری استاتیکی برحسب نسبت سفتی خمشی هنگامی که $\Omega=20$ ، بدون در نظرگیری بستر، نیروهای محیطی و گرانشی

در شکل‌های ۸ و ۹، اثرات شرایط محیطی بر مرزهای ناپایداری استاتیکی سیستم نمایش داده شده‌اند. مطابق شکل ۸، با افزایش رطوبت در سیستم، پایداری سیستم کاهش می‌یابد. از سوی دیگر، با افزایش شدت میدان مغناطیسی، سیستم سفت‌تر می‌شود و مناطق پایدار سیستم منبسط می‌شوند. به بیان دیگر، میدان‌های رطوبتی و مغناطیسی اثرات معکوس بر محدوده‌های پایداری سیستم دارند. براساس شکل ۹، در شرایط دما-بالا، با افزایش دما، بارهای حرارتی در سازه ایجاد می‌شوند که توسط تکیه‌گاه‌ها مهار می‌شوند که در نهایت تنش‌های فشاری سبب ایجاد ناپایداری در سیستم می‌شوند؛ در نتیجه افزایش دما منجر به کاهش سرعت محوری مربوط به ناپایداری استاتیکی سیستم می‌شود. از طرف دیگر، به دلیل تغییر علامت ضریب انبساط حرارتی در شرایط دما-پایین، با افزایش دما این روند معکوس می‌شود. مطابق شکل‌های ۸ و ۹، هرچه نسبت سفتی خمشی در سیستم افزایش یابد، پایداری سیستم بهبود می‌یابد. ضمناً، نتایج عددی حاضر، با نتایج روش تحلیلی ارائه‌شده در پیوست تطابق قابل قبولی دارند.

دوسرمفصل به ترتیب بیشترین و کمترین سرعت ناپایداری استاتیکی را در میان شرایط مرزی دوسریسته دارند.

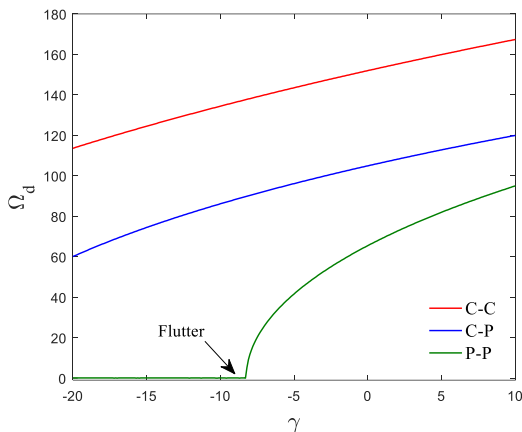


شکل ۵- قسمت حقیقی دو مقدار ویژه اول سیستم برحسب سرعت محوری هنگامی که $\Omega=20$ ، بدون در نظرگیری اثرات اندازه، نیروهای محیطی و گرانشی

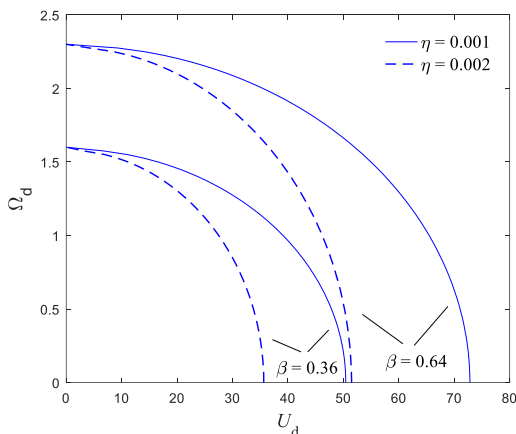


شکل ۶- اثر گرانش، نسبت سفتی خمشی و صلبیت خمشی بر اولین فرکانس پس‌رو ارتعاشاتی هنگامی که $U=1$ و $\Omega=20$ ، بدون در نظرگیری بستر و شرایط محیطی

چرخشی مربوط به ناپایداری استاتیکی در سازه صفر شود، در سیستم به جای رخداد ناپایداری استاتیکی، ناپایداری دینامیکی رخ می‌دهد و سیر تکاملی پایداری سیستم تغییر می‌کند [۳]؛ همچنین، طبق انتظار با افزایش قید تکیه‌گاه‌ها، پایداری سیستم بهبود می‌یابد.

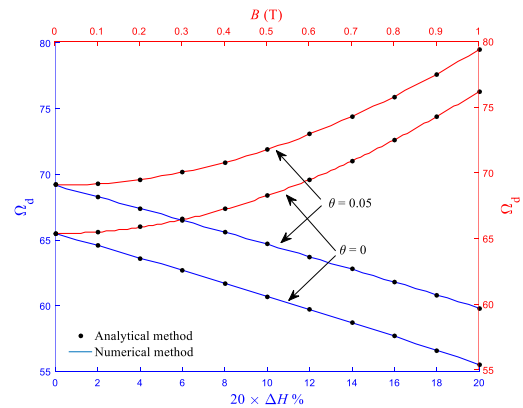


شکل ۱۰- سرعت چرخشی ناپایداری استاتیکی برحسب پارامتر گرانش هنگامی که $U=1$ ، بدون اثرات اندازه، بستر و شرایط محیطی

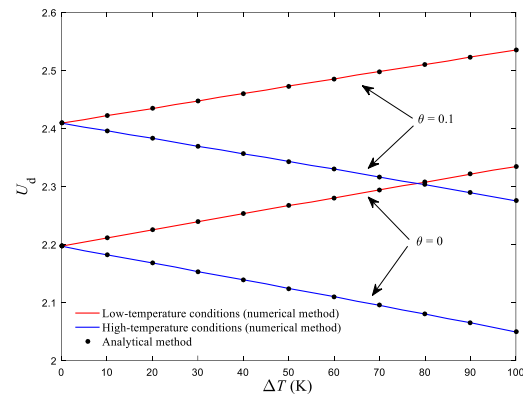


شکل ۱۱- مرزهای ناپایداری استاتیکی برحسب سرعت‌های محوری و چرخشی بدون در نظرگیری اثرات اندازه، بستر و نیروهای گرانشی

در شکل ۱۱، مرزهای ناپایداری استاتیکی سیستم به ازای سرعت‌های محوری و چرخشی برای مقادیر مختلف پارامترهای اینرسی چرخشی و صلبیت خمشی در شکل ۱۱ رسم شده‌اند. مطابق شکل، این دو پارامتر اثرات معکوس بر پایداری سیستم



شکل ۸- سرعت چرخشی ناپایداری استاتیکی برحسب تغییرات رطوبت و شدت میدان مغناطیسی هنگامی که $U=1$ ، بدون اثرات بستر و نیروهای گرانشی



شکل ۹- سرعت محوری ناپایداری استاتیکی برحسب تغییرات دما هنگامی که $\Omega=20$ ، بدون در نظرگیری اثرات بستر و نیروهای گرانشی

در شکل ۱۰، مرزهای ناپایداری استاتیکی سیستم در صفحه $\Omega_d-\gamma$ به ازای شرایط مرزی مختلف مشخص شده‌اند. هنگامی که پارامتر گرانش سیستم منفی است، سیستم در خلاف جهت شتاب گرانشی حرکت می‌کند و برعکس. به بیان دیگر، هنگامی که پارامتر گرانش سیستم منفی است، نیروهای گرانشی مانند نیروهای فشاری در سیستم عمل می‌کنند؛ بنابراین، هنگامی که سیستم در جهت شتاب گرانشی، حرکت محوری دارد، نسبت به حالتی که در خلاف جهت شتاب گرانشی حرکت می‌کند پایدارتر است. در مجموع با افزایش پارامتر گرانش، محدوده پایداری سیستم گسترش می‌یابد. یک نکته مهم دیگر در شکل ۱۰ این است، زمانی که سرعت

پارامتر اینرسی چرخشی، افزایش پارامتر گرانش، نسبت سفتی خمشی و صلبیت خمشی منجر به افزایش فرکانس‌های ارتعاشاتی و بهبود عملکرد سیستم می‌شوند. فهمیده شده است که افزایش دما در محیط‌های دما-پایین، موجب کاهش پایداری سیستم می‌شود؛ همچنین، میدان‌های مغناطیسی و محیط‌های مرطوب اثرات معکوس بر مرزهای ناپایداری سیستم دارند، به طوری که افزایش رطوبت/شدت میدان مغناطیسی باعث کوچک/بزرگ شدن نواحی پایداری سیستم می‌شود. فهمیده شده است که بستر ویسکوز اثری بر پایداری استاتیکی و فرکانس‌های ارتعاشاتی سیستم ندارد، اما باعث جابجایی شاخه‌های مقادیر ویژه به سمت ناحیه چهارم محور مختصات می‌شود. نشان داده شده است که هنگامی که جهت حرکت محوری و شتاب گرانشی مخالف یکدیگر باشند، سیر تکاملی پایداری سیستم می‌تواند تغییر کند و به جای ناپایداری استاتیکی، ناپایداری دینامیکی در سیستم رخ دهد.

پیوست

هنگامی که سیستم با سرعت محوری یا چرخشی مربوط به ناپایداری دینامیکی حرکت می‌کند، کمترین فرکانس طبیعی سیستم یعنی فرکانس پس‌رو سیستم صفر می‌شود. این بدان معنی است که سیستم سفتی خود را به ازای مود اصلی از دست می‌دهد؛ در نتیجه، به منظور استخراج سرعت بحرانی مربوط به مود اول، معادله (۱۷) با در نظر گرفتن یک مود $(r=s=1)$ ، به معادله زیر کاهش می‌یابد:

$$Z_{11} = \begin{bmatrix} k_{11} & k_{12} \\ -k_{12} & k_{11} \end{bmatrix} + \begin{bmatrix} g_{11} & g_{12} \\ -g_{12} & g_{11} \end{bmatrix} + \begin{bmatrix} m_{11} & 0 \\ 0 & m_{11} \end{bmatrix} \quad (\text{الف-۱})$$

که در آن:

$$k_{11} = \pi^4(\beta + \theta - \eta U^2) - \pi^2(U^2 + 1 + \eta\Omega^2 + \delta_H + \delta_T - \delta_M - 1.5\gamma) \quad (\text{الف-۲})$$

$$k_{12} = 0 \quad (\text{الف-۳})$$

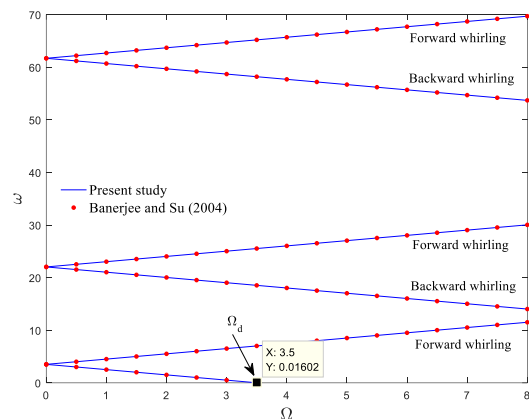
بر طبق تئوری پایداری سیستم‌های خطی چرخان [۲۷، ۲۹-۳۴]، هنگامی که مقادیر ویژه سیستم صفر شود، دترمینان ماتریس سفتی صفر می‌شود.

مراجع

- [1] Esmailpour Hamedani S, Hosseini M (2020) Nonlinear Vibration Analysis of Micro Rotating

دارند. به نحوی که با افزایش پارامتر اینرسی چرخشی/صلبیت خمشی پایداری سیستم کاهش/افزایش می‌یابد؛ همچنین براساس تئوری پایداری خطی سیستم‌های چرخان [۲۷] و روش تحلیلی ارائه شده در مرجع [۴] می‌توان فهمید هنگامی که سیستم حرکت محوری ندارد، مرزهای ناپایداری سیستم حساسیت خود را نسبت به تغییرات پارامتر اینرسی چرخشی از دست می‌دهند.

درشکه ۱۲، فرکانس‌های ارتعاشاتی یک تیر یکسرگردار چرخان براساس مدل تیر ایولر-برنولی، برحسب سرعت چرخشی نمایش داده شده است و با نتایج مرجع [۲۸] که با به کارگیری روش سفتی دینامیکی به دست آمده‌اند، مقایسه شده‌اند. با وجود تفاوت در مدل ریاضی و روش حل، نتایج پژوهش حاضر مطابقت خوبی با آنچه توسط بانرجی و سو [۲۸] ارائه کرده‌اند، دارند.



شکل ۱۲: فرکانس‌های ارتعاشاتی یک تیر یکسرگردار برحسب سرعت چرخشی بدون در نظرگیری اثرات اندازه، سرعت محوری، بستر و نیروهای محیطی و گرانشی

۴- نتیجه گیری

رفتار دینامیکی وابسته به اندازه تیرهای رایلی چرخان متحرک محوری در محیط‌های پیچیده براساس تئوری تنش کوپل مدل شده‌اند. فرکانس‌های ارتعاشاتی و محدوده‌های پایداری سیستم به صورت عددی استخراج شده‌اند. برای اطمینان از صحت روش حل، نتایج پژوهش حاضر با گزارش‌های علمی موجود در ادبیات فنی مقایسه شده‌اند. اثر پارامترهای سیستم بر دینامیک سیستم مطالعه شده است. نتایج نشان داده‌اند که برعکس

- [13] Naderi A, Rostami M, Farajollahi A, and Marashi SM (2022) Size-dependent vibration of rotating rayleigh microbeams with variable cross-section in complex environments. *JSFM* 11(1):159-171 (In Persian).
- [14] Hamedani S E, Hosseini M (2020) Nonlinear Vibration Analysis of Micro Rotating Euler-Bernoulli Beams Subjected to Loading Based on the Strain Gradient Theory. *JSFM* 10(1):181-193 (In Persian).
- [15] Bai Y, Suhatri M, Cao Y, Forooghi A, Assilzadeh H (2021) Hygro-thermo-magnetically induced vibration of nanobeams with simultaneous axial and spinning motions based on nonlocal strain gradient theory. *Eng Comput.* 38(3):2509-2526.
- [16] Dehrouyeh-Semnani A M, Mostafaei H, Nikkha-Bahrami M (2016) Free flexural vibration of geometrically imperfect functionally graded microbeams. *Int. J. Eng. Sci.* 105(2):56-79.
- [17] Liang F, Yang X D, Qian Y J, Zhang W (2018) Transverse free vibration and stability analysis of spinning pipes conveying fluid. *IJMS* 137(1):195-204.
- [18] Dehrouyeh-Semnani A M, Nikkha-Bahrami M, Yazdi M R H (2017) On nonlinear stability of fluid-conveying imperfect micropipes. *Int. J. Eng. Sci.* 120(2):254-271.
- [19] Xu W, Pan G, Khadimallah M A, Koochakianfard O (2021) Nonlocal vibration analysis of spinning nanotubes conveying fluid in complex environments. *Waves Random Complex Media* 1-33. Doi: 10.1080/17455030.2021.1970283.
- [20] Mamaghani A E, Khadem S E, Bab S (2016) Vibration control of a pipe conveying fluid under external periodic excitation using a nonlinear energy sink. *Nonlinear Dyn.*, 86(3):1761-1795
- [21] Ebrahimi-Mamaghani A, Sotudeh-Gharebagh R, Zarghami R, Mostoufi N (2019) Dynamics of two-phase flow in vertical pipes. *J Fluids Struct.* 87(1):150-173.
- [22] Ebrahimi-Mamaghani A, Mostoufi N, Sotudeh-Gharebagh R, Zarghami R (2022) Vibrational analysis of pipes based on the drift-flux two-phase flow model. *Ocean Eng.* 249(1):139-165.
- [23] Ebrahimi-Mamaghani A, Sotudeh-Gharebagh R, Zarghami R, Mostoufi N (2020) Thermo-mechanical stability of axially graded Rayleigh pipes. *Mech. Based Des. Struct. Mach.* 50(2):412-441.
- [24] Ebrahimi-Mamaghani A, Forooghi A, Sarparast H, Alibeigloo A, Friswell M I (2021) Vibration of viscoelastic axially graded beams with simultaneous Euler-Bernoulli Beams Subjected to Loading Based on the Strain Gradient Theory. *JSFM* 10(3):181-193 (In Persian).
- [2] Sarparast H, Ebrahimi-Mamaghani A, Safarpour M, Ouakad H M, Dimitri R, Tornabene F (2020) Nonlocal study of the vibration and stability response of small-scale axially moving supported beams on viscoelastic-Pasternak foundation in a hygro-thermal environment. *Math. Methods Appl. Sci.* Doi: 10.1002/mma.6859.
- [3] Yang X D, Yang J H, Qian Y J, Zhang W, Melnik R V (2018) Dynamics of a beam with both axial moving and spinning motion: An example of bi-gyroscopic continua. *Eur J Mech A Solids* 69(2):231-237.
- [4] Zhu K, Chung J (2019) Vibration and stability analysis of a simply-supported Rayleigh beam with spinning and axial motions. *Appl. Math. Model.* 66(4):362-382.
- [5] Li X, Qin Y, Li Y H, Zhao X (2018) The coupled vibration characteristics of a spinning and axially moving composite thin-walled beam. *Mech. Adv. Mater. Struct.* 25(9):722-731.
- [6] Sahebkar S M, Ghazavi M R, Khadem S E, Ghayesh M (2011) Nonlinear vibration analysis of an axially moving drillstring system with time dependent axial load and axial velocity in inclined well. *Mech. Mach.* 46(5):743-760.
- [7] Ghayesh M H, Ghazavi M R, Khadem S E (2010) Non-linear vibration and stability analysis of an axially moving rotor in sub-critical transporting speed range. *Struct. Eng. Mech.* 34(4):507-523.
- [8] Yuh J, Young T (1991) Dynamic modeling of an axially moving beam in rotation: simulation and experiment 20(3):34-40.
- [9] Lee H P (1994) Vibration of a pretwisted spinning and axially moving beam. *Comput Struct.* 52(3):595-601.
- [10] Shafiei N, Ghadiri M, Mahinzare M (2019) Flapwise bending vibration analysis of rotary tapered functionally graded nanobeam in thermal environment. *Mech. Adv. Mater. Struct.* 26(2):139-155.
- [11] Azimi M, Mirjavadi S S, Shafiei N, Hamouda A M S, Davari E (2018) Vibration of rotating functionally graded Timoshenko nano-beams with nonlinear thermal distribution. *Mech. Adv. Mater. Struct.* 25(6):467-480.
- [12] Ghadiri M, Hosseini S H S, Shafiei N (2016) A power series for vibration of a rotating nanobeam with considering thermal effect. *Mech. Adv. Mater. Struct.* 23(12):1414-1420.

- [30] Lingling L, Ruonan M, & Koochakianfard O (2022). Size-dependent vibrational behavior of embedded spinning tubes under gravitational load in hygro-thermo-magnetic fields. *Proc Inst Mech Eng C J Mech Eng Sci*, 09544062211068730.
- [31] Zhou Z X, & Koochakianfard O (2022). Dynamics of spinning functionally graded Rayleigh tubes subjected to axial and follower forces in varying environmental conditions. *EPJ Plus*, 137(1), 1-35.
- [32] Koochakianfard O, & Alibeigloo A (2022) Nonlocal vibration of nanobeam embedded in viscoelastic Pasternak foundation with longitudinal and rotational motions with surface effects, doi: 10.22060/MEJ.2022.21234.7407.
- [33] Ebrahimi Mamaghani A, & Sarparast H (2018). Target energy transfer from a doubly clamped beam subjected to the harmonic external load using nonlinear energy sink. *JSFM*, 8(4), 165-177. doi: 10.22044/jsfm.2018.6771.2571 (In Persian).
- [34] Ebrahimi Mamaghani A, Hosseini R, Shahgholi M, & Sarparast H (2018). Free lateral vibration analysis of inhomogeneous beams under various boundary conditions. *JSFM*, 8(3), 123-135. doi: 10.22044/jsfm.2018.6350.2497 (In Persian).
- axial and spinning motions under an axial load. *Appl. Math. Model.* 90(2):131-150.
- [25] Afkhami Z, Farid M (2016) Thermo-mechanical vibration and instability of carbon nanocones conveying fluid using nonlocal Timoshenko beam model. *JVC* 22(2):604-618.
- [26] Elaikh T E, Abed N M, Ebrahimi-Mamaghani A (2020) Free vibration and flutter stability of interconnected double graded micro pipes system conveying fluid. *Mater. Sci. Eng.* 928(2):122-128.
- [27] Lancaster P (2013) Stability of linear gyroscopic systems: A review. *Linear Algebra Its Appl.* 439(3):686-706.
- [28] Banerjee JR, Su H (2004) Development of a dynamic stiffness matrix for free vibration analysis of spinning beams. *Comput Struct.* 82(5): 2189–2197.
- [29] Sarparast H, Alibeigloo A, Borjalilou V, & Koochakianfard O (2022). Forced and free vibrational analysis of viscoelastic nanotubes conveying fluid subjected to moving load in hygro-thermo-magnetic environments with surface effects. *Arch. Civ. Mech. Eng.*, 22(4), 1-28.